

Supporting Information

Conway and Tsaob 10.1073/pnas.0810943106

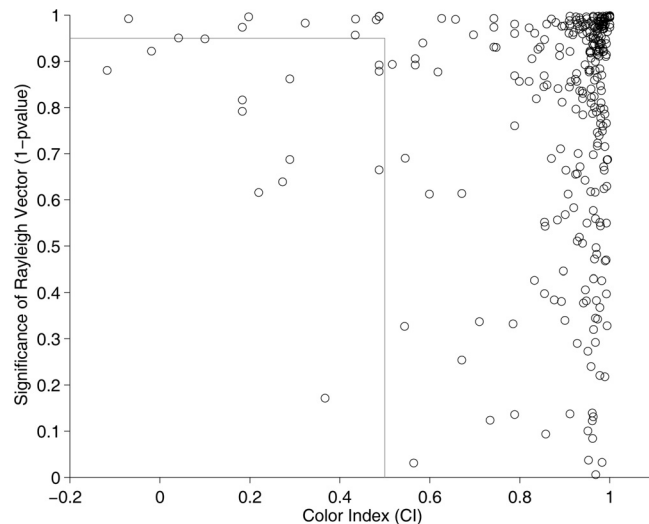


Fig. S1. Quantification of the degree of color tuning of the population of glob cells. Cells with $CI \geq 0.5$ or a Rayleigh vector length ≥ 0.95 were deemed color-tuned.

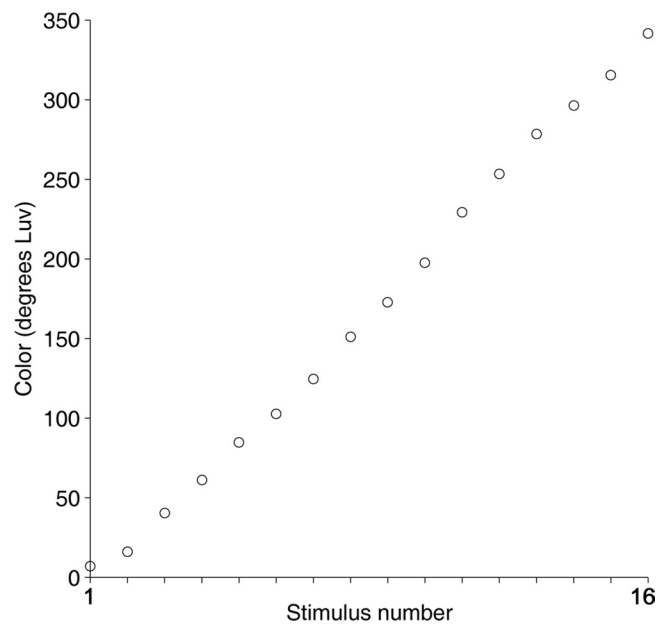


Fig. S2. The stimuli of the CIELUV stimulus subset (used to assess color tuning) uniformly sample the CIELUV color space.

Table S1. CIE x and y values and the CIELUV color angles of all of the stimuli

Color series 1; lower luminance than background Color series 2; equiluminant with background Color series 3; higher luminance than background

CIELUV color angle	Stimulus			CIELUV			CIELUV			CIELUV		
	CIE x	CIE y	Luminance (cd/m ²)	number (Fig. S2)	color angle	CIE x	CIE y	Luminance (cd/m ²)	color angle	CIE x	CIE y	Luminance (cd/m ²)
15.54	0.616	0.354	0.6	1	6.92 0.542 0.311	3.09	8.43	0.555	0.317	7.84		
19.58	0.61	0.375	0.63		6.76	0.544	0.31	3.09	12.22	0.584	0.335	7.85
16.98	0.586	0.359	0.67		15.72	0.616	0.355	3.11	15.55	0.615	0.354	7.8
26.61	0.559	0.396	0.68	2	16.17 0.61 0.357	3.04	15.78	0.611	0.355	7.73		
40.71	0.528	0.434	0.58		18.84	0.594	0.369	3.05	18.61	0.595	0.368	7.73
62.5	0.487	0.473	0.61		26.47	0.561	0.396	3.06	26.29	0.56	0.395	7.77
81.77	0.44	0.481	0.62	3	40.31 0.515 0.426	3.14	40.13	0.518	0.427	7.77		
108.11	0.391	0.51	0.64	4	61.11 0.475 0.458	2.96	61.47	0.475	0.459	7.95		
127.53	0.337	0.528	0.58	5	84.83 0.438 0.489	3.07	85.5	0.437	0.49	7.76		
120.18	0.363	0.544	0.58	6	102.73 0.404 0.508	3.09	102.7	0.406	0.513	7.69		
136.11	0.292	0.607	0.6		117.93	0.37	0.541	3.08	113.83	0.381	0.532	7.86
134.9	0.299	0.606	0.64	7	124.68 0.348 0.555	3.01	122.74	0.355	0.553	7.85		
133.45	0.31	0.578	0.64		130.5	0.324	0.576	3.04	127.79	0.336	0.565	7.79
130.41	0.325	0.564	0.64		133.5	0.309	0.585	3.06	132.52	0.314	0.583	7.69
134.92	0.299	0.605	0.64		134.48	0.303	0.593	3	135.34	0.298	0.596	7.79
136.65	0.288	0.612	0.62		136.34	0.292	0.599	3.05	135.5	0.297	0.597	7.74
219.8	0.189	0.26	0.6		135.98	0.295	0.593	3.05	136.11	0.293	0.601	7.84
226.27	0.206	0.254	0.6		136.63	0.29	0.601	3.04	136.52	0.291	0.599	7.85
225.83	0.206	0.255	0.6		151.08	0.257	0.477	3.01	141.92	0.274	0.546	7.75
213.62	0.2	0.28	0.67		150.56	0.26	0.476	3.03	141.73	0.275	0.546	7.74
222.99	0.207	0.262	0.6	8	151.35 0.254 0.48	3.03	148.24	0.261	0.496	7.86		
222.33	0.197	0.258	0.6		150.96	0.257	0.478	3.03	157.03	0.248	0.447	7.79
215.97	0.208	0.278	0.67	9	172.9 0.232 0.387	3.04	166.24	0.237	0.41	7.72		
225.22	0.207	0.257	0.6	10	197.66 0.216 0.321	3.06	187.12	0.222	0.347	7.8		
242.76	0.172	0.182	0.7		215.89	0.203	0.276	3.09	211.69	0.204	0.286	7.85
249.69	0.176	0.161	0.61	11	229.3 0.191 0.237	3.03	222.93	0.196	0.256	7.77		
255.93	0.158	0.113	0.61		241.9	0.182	0.194	3.18	236.54	0.184	0.212	7.75
259.55	0.152	0.086	0.61		248.54	0.17	0.159	3.07	246.7	0.173	0.169	7.88
260.67	0.148	0.074	0.5	12	253.5 0.16 0.127	3	253.13	0.162	0.131	7.74		
260.97	0.145	0.068	0.59		257.75	0.152	0.096	3.11	257.48	0.154	0.1	7.8
260.4	0.141	0.066	0.57		259.94	0.147	0.077	3.11	260	0.148	0.078	7.81
261.29	0.145	0.066	0.7		260.91	0.144	0.067	3	261.29	0.145	0.066	7.75
261.74	0.147	0.066	0.7		261.39	0.144	0.064	3.06	261.39	0.144	0.064	7.74
262.38	0.154	0.072	0.64		261.39	0.144	0.064	3	261.61	0.145	0.064	7.75
264.76	0.17	0.081	0.58		261.74	0.147	0.066	2.98	262.04	0.149	0.067	7.87
266.31	0.18	0.087	0.63		263.08	0.157	0.072	3.05	263.39	0.159	0.073	7.74
271.6	0.21	0.105	0.6		265.01	0.171	0.081	3.06	265.69	0.175	0.083	7.88
270.9	0.207	0.104	0.59		268.23	0.191	0.093	2.96	268.99	0.195	0.095	7.82
282.28	0.259	0.138	0.56		271.9	0.211	0.105	3.08	273.61	0.22	0.111	7.77
288.41	0.279	0.146	0.64	13	278.53 0.242 0.124	3.06	279.6	0.247	0.128	7.84		
316.15	0.36	0.192	0.54		285.89	0.271	0.143	3.12	288.92	0.281	0.148	7.8
321.65	0.372	0.212	0.61	14	296.42 0.305 0.164	3.08	300.99	0.318	0.17	7.76		
329.48	0.394	0.221	0.7	15	315.58 0.358 0.194	3.09	320.51	0.371	0.203	7.68		
323.5	0.379	0.208	0.62	16	341.73 0.431 0.242	3.08	342.11	0.433	0.242	7.8		
323.5	0.379	0.208	0.62		355.27	0.481	0.273	3.03	358.65	0.498	0.282	7.78
Background	x	y	Luminance									
Background	0.316	0.314	3.05									
White	0.274	0.303	77.4									
Black			0.02									

The CIELUV subset used to assess color tuning is shown in bold.